

## ارزیابی دقیق روش‌های برآورد هدایت هیدرولیکی اشباع برای خاک‌های مختلف

علی رسول‌زاده<sup>۱\*</sup>، سکینه رضوی قلعه جوق و محمدرضا نیشابوری

استادیار گروه مهندسی آب، دانشکده کشاورزی، دانشگاه محقق اردبیلی؛

arasoulzadeh@gmail.com

دانشجوی سابق کارشناسی ارشد رشته علوم خاک، دانشکده کشاورزی، دانشگاه محقق اردبیلی؛

srazavig@gmail.com

استاد گروه علوم خاک، دانشکده کشاورزی، دانشگاه تبریز؛

Neyshmr@hotmail.com

### چکیده

هدایت هیدرولیکی اشباع یکی از خصوصیات مهم فیزیکی خاک در مدل کردن انتقال آب و املاح، مدیریت آبیاری و مسائل زهکشی می‌باشد. روش‌های آزمایشگاهی و صحرایی برای اندازه‌گیری مستقیم این ویژگی زمان بر و پرهزینه می‌باشد. به همین منظور، روش‌های غیرمستقیم استفاده از توابع انتقالی برای برآورد این ویژگی توسعه یافته است. هدف از این تحقیق، ارزیابی مدل‌های توابع انتقالی رگرسیونی مختلف، مدل تابع انتقالی رزتا (Rosetta) با ماهیت شبکه عصبی مصنوعی و مدل فرکتال برای برآورد هدایت هیدرولیکی اشباع است. همچنین، به علت اهمیت و نقش جریان‌های ترجیحی در انتقال ترکیبات شیمیایی در خاک، هدایت هیدرولیکی منافذ درشت خاک با استفاده از مدل فرکتال بدست آمد. این هدف با انتخاب 31 نمونه خاک با بافت‌های مختلف و اندازه‌گیری هدایت هیدرولیکی اشباع با روش بار افتاب، مورد آزمون قرار گرفت. خصوصیات فیزیکی زود یافته خاک شامل توزیع اندازه ذرات، جرم مخصوص ظاهری، جرم مخصوص حقیقی، محتوای مواد آلی در آزمایشگاه اندازه‌گیری شد. هدایت هیدرولیکی اشباع با استفاده از خصوصیات زود یافته خاک به وسیله مدل‌های ذکر شده، برآورد شد. به منظور مقایسه و ارزیابی مدل‌های مختلف محک‌های آماری درجه انحراف (DT)، نسبت خطای متوسط هندسی (GMER) و نسبت خطای انحراف معیار هندسی (GSDER) برای تمام مدل‌ها محاسبه شد. نتایج نشان داد مدل وستن و همکاران بالاترین دقیقیت را با DT و GMER به ترتیب 23/117 و 0/055 و با GSDER 3/372 برابر با 4931/854 ضعیف‌ترین برآورد را برای هدایت هیدرولیکی اشباع ماتریس خاک ارائه داد. محک‌های آماری حاکی از آن است که مدل فرکتال تعدیل شده در این تحقیق، با DT برابر 4/91 بهترین برآورد را برای هدایت هیدرولیکی اشباع منافذ درشت خاک ارائه می‌کند.

**واژه‌های کلیدی:** توابع انتقالی، جریان‌های ترجیحی، فرکتال، هدایت هیدرولیکی

<sup>۱</sup>. آدرس نویسنده مسئول: اردبیل - انتهای خیابان دانشگاه - دانشگاه محقق اردبیلی - دانشکده فناوری کشاورزی - گروه مهندسی آب -

کد پستی: 5619911367 - صندوق پستی: 179

\* دریافت: اردیبهشت، 1391 و پذیرش: شهریور، 1391

منطقه مورد مطالعه کمتر می باشد. شاپ<sup>1</sup> و لیچ<sup>2</sup> (22) از شبکه های عصبی مصنوعی برای مدل سازی هدایت هیدرولیکی اشباع و منحنی مشخصه آب خاک استفاده کردند. این محققین نشان دادند با افزایش تعداد ورودی در شبکه عصبی مصنوعی، دقیق برآوردها افزایش می یابد بطوریکه RMSR<sup>3</sup> برآوردهای هیدرولیکی اشباع توسط شبکه عصبی مصنوعی با سه ورودی (درصد های شن، سیلت و رس) برابر با 0/831 و با چهار ورودی (درصد های شن، سیلت، رس و جرم مخصوص ظاهری) برابر با 0/775 می باشد.

راولز و همکاران (19) به منظور برآوردهای هیدرولیکی اشباع ماتریس و منافذ درشت خاک، مدل فرش سرینسکی را با معادله هدایت هیدرولیکی مارشال (11) ترکیب کرده و به این نتیجه رسیدند که معادله هدایت هیدرولیکی اشباع تعديل شده مارشال برآوردهایی منطقی از هدایت هیدرولیکی اشباع ماتریس و منافذ درشت خاک می دهد. ضریب همبستگی بین مقادیر هدایت هیدرولیکی اشباع منافذ درشت برآورده شده و اندازه گیری شده توسعه این محققین 0/89 به دست آمد. در تحقیق انجام شده به وسیله امیدی و قهرمان (14)، هدایت هیدرولیکی اشباع ماتریس و منافذ درشت خاک با استفاده از شش تابع انتقالی، یک مدل فرکتانل و روش نفوذ لوله های مویین مورد مقایسه و ارزیابی قرار گرفت. نتایج نشان داد مدل کاسبایی و همکاران با DT<sup>3</sup> برابر با 1/86، برآورده بتری نسبت به سایر مدل ها از هدایت هیدرولیکی اشباع ماتریس خاک دارد. همچنین، ایشان گزارش کردند مدل فرکتانل راولز برای محاسبه هدایت هیدرولیکی اشباع منافذ درشت خاک نتایجی دور از واقعیت نشان می دهد.

محققین مختلفی مدل های زیادی را برای برآوردهای هدایت هیدرولیکی اشباع ارائه نمودند. از آنجا که

## مقدمه

هدایت هیدرولیکی اشباع یکی از متغیرهای کلیدی در مدل سازی آب های زیرزمینی، حرکت آب در خاک و انتقال املاح می باشد. اندازه گیری مستقیم این خصوصیت هیدرولیکی با استفاده از روش های آزمایشگاهی و صحرایی امکان پذیر می باشد ولی، این روش ها زمان بین و پرهزینه بوده و اندازه گیری آنها برای مطالعات در مقیاس های وسیع تر عملی نمی باشد. اهمیت و تقاضا برای بدست آوردن داده های هدایت هیدرولیکی اشباع محققان را به سمت توسعه روش های غیر مستقیم برای برآوردهای هیدرولیکی اشباع ارائه داده است. یکی از روش های غیر مستقیم برآوردهای هیدرولیکی اشباع، استفاده از توابع انتقالی است.

توابع انتقالی خصوصیات هیدرولیکی خاک را از خصوصیات فیزیکی زود یافت خاک مانند بافت خاک، جرم مخصوص ظاهری، محتوای مواد آلی برآورده می کنند. سالازر و همکاران (20) جریان زهکشی را با استفاده از هدایت هیدرولیکی اشباع برآورده شده با توابع انتقالی رزتا (با ماهیت شبکه عصبی مصنوعی) ارزیابی کرده و نتیجه گرفته اند، قدر مطلق درصد خطای نرمال شده، برای شیوه سازی جریان خروجی از زهکش ها با هدایت هیدرولیکی برآورده شده توسعه رزتا 15 درصد هدایت هیدرولیکی اندازه گیری شده در آزمایشگاه می باشد.

مانیام و همکاران (10) توانایی سه تابع انتقالی رگرسیونی کمپل، وان گنوختن و واکلین را برای تعیین منحنی مشخصه آب خاک و هدایت هیدرولیکی غیر اشباع خاک های شنی نیجر آزمودند. ایشان گزارش کردند تابع انتقالی کمپل و واکلین هدایت هیدرولیکی را کم برآورده کرده و دقیق تر این توابع با ریشه مربعات خطای 0/61 الی 1/01 (متر در روز) نسبت به توابع انتقالی وان گنوختن با ریشه مربعات خطای 0/26 الی 0/47 (متر در روز) برای

<sup>1</sup> Schaap

<sup>2</sup> Root mean square residuals

<sup>3</sup> Deviation Time

بر روی نمونه‌های دست نخورده به ترتیب با روش‌های بار افتان، خشک کردن نمونه خاک دست نخورده درآون اندازه‌گیری شد. توزیع اندازه‌ی ذرات، جرم مخصوص حقیقی و محتوای مواد آلی بر روی نمونه‌های دست نخورده به ترتیب با روش‌های هیدرومتری، پیکنومتر<sup>(9)</sup> و والکلی بلاک<sup>(13)</sup> بدست آمد. هر پارامتر در سه تکرار در آزمایشگاه اندازه‌گیری و میانگین آنها در مدل‌ها مورد استفاده قرار گرفت. رطوبت اشباع حجمی خاک برابر با تخلخل کل در نظر گرفته شد.

### برآورد هدایت هیدرولیکی اشباع ماتریس خاک

#### توابع انتقالی رگرسیونی، رزتا و سویل پار 2

با استفاده از چگونگی توزیع اندازه‌ی ذرات (درصدهای شن، سیلت و رس) و جرم مخصوص ظاهری، هدایت هیدرولیکی اشباع با استفاده از نرم افزار رزتا برآورد شد<sup>(23)</sup>. نرم افزار سویل پار-2 از سه تابع انتقالی شامل توابع نقطه‌ای جبرو، جاینز - تایلر و پاکت و همکاران برای برآورد هدایت هیدرولیکی اشباع استفاده می‌کند<sup>(1)</sup>.

متغیرهای ورودی مورد نیاز برای توابع انتقالی جبرو، جاینز - تایلر ، جرم مخصوص ظاهری و توزیع اندازه‌ی ذرات (شامل درصدهای شن، سیلت و رس) بوده و برای تابع پاکت و همکاران تنها فراوانی رس می‌باشد. همچنین، از 11 تابع انتقالی متداول دیگر که همگی از دسته مدل‌های رگرسیونی می‌باشند، به منظور برآورد هدایت هیدرولیکی اشباع استفاده شد. این 11 تابع انتقالی شامل توابع ارائه شده به وسیله کمپل<sup>(5)</sup>، برانکسیک و همکاران<sup>(3)</sup>، وریکن و همکاران<sup>(25)</sup>، کاسبای و همکاران<sup>(6)</sup>، سکستون و همکاران<sup>(21)</sup>، وستن و همکاران<sup>(28)</sup>، وستن<sup>(27)</sup>، فرر جولیا و همکاران<sup>(7)</sup>، کمپل و شوزواوا (به نقل از فرر جولیا و همکاران<sup>(7)</sup>)، دتسی و پاکت (به نقل از فرر جولیا و

توسعه‌ی مدل‌های جدید برای هر منطقه‌ای، نیاز به پایگاه‌های اطلاعاتی بزرگ و معابر دارد و استفاده از چنین داده‌هایی بطور معمول قابل دسترس نمی‌باشد لذا ارزیابی و استفاده از مدل‌های توسعه یافته‌ی موجود راهکار مناسبی به نظر می‌رسد. اگر چه مدل‌های توسعه یافته نباید برای اهداف برونویابی استفاده شوند. به عبارت دیگر، مدل‌های توسعه یافته باید برای خاک‌هایی مشابه با شرایط توسعه‌ی آنها مورد استفاده قرار گیرند. استفاده از آنها برای برآورد خصوصیات هیدرولیکی خاک‌های مناطق دیگر، ابتدا باید ارزیابی شده و سپس با اختیاط جدی صورت گیرد. بنابراین هدف از این تحقیق، ارزیابی دقیت توابع انتقالی رگرسیونی مختلف و همچنین مدل کامپیوتري رزتا با ماهیت شبکه عصبی مصنوعی، توابع نرم افزاری سویل پار<sup>2</sup>، مدل‌های فرکتال در برآورد هدایت هیدرولیکی اشباع ماتریس و منافذ درشت خاک برای خاک‌های مختلف ایران می‌باشد. همچنین، مدل فرکتال راولز و همکاران به منظور برآورد بهتر هدایت هیدرولیکی اشباع منافذ درشت خاک‌های مورد تحقیق تبدیل شده و نتایج آن مورد ارزیابی قرار گرفته است.

### مواد و روش‌ها

#### منطقه مورد تحقیق و روش اندازه‌گیری خصوصیات خاک

در این تحقیق، داده‌های توزیع اندازه‌ی ذرات خاک (درصدهای شن، سیلت و رس)، جرم مخصوص ظاهری و محتوای ماده آلی 31 نمونه خاک مورد تجزیه و تحلیل قرار گرفت. نمونه‌های مذکور شامل 13 نمونه از دشت توابع ارسنجان، استان فارس<sup>(16)</sup>، هشت نمونه از دشت اردبیل<sup>(8 و 29)</sup>، 10 نمونه خاک از دشت سولدوز شهرستان نقده<sup>(17)</sup> می‌باشند. تعداد 31 نمونه خاک و از هر کدام نمونه‌های دست خورده و دست نخورده و به صورت تصادفی، از عمق 0-10 سانتی‌متر تهیه شد. هدایت هیدرولیکی اشباع خاک و جرم مخصوص ظاهری

$$R_1 = \frac{0.148}{h_b} \quad (2)$$

در معادله 2  $h_b$  مکش ورود هوا بر حسب سانتی متر می باشد. راولز و همکاران (19) مکش ورود هوا را برای هر بافت خاک ثابت فرض کردند. در این تحقیق برای برآورد  $h_b$ ، از توابع انتقالی رگرسیونی ارائه شده توسط راولز (18) استفاده گردید. متغیرهای ورودی مورد نیاز برای توابع انتقالی برآورد کننده  $h_b$ ، تخلخل و درصدهای  $R_1$  شن و رس می باشد. برای هر نمونه خاک مقدار  $R_1$  مشخصی محاسبه شد.

راولز و همکاران (19) رابطه زیر را به منظور محاسبه  $n$  پیشنهاد کردند:

$$n = m \left( \frac{\phi}{(\phi - \theta_1)} \right) \quad (3)$$

همکاران (7)، پاکت و همکاران (15) می باشند که در جدول (1) ارائه شده اند.

### مدل فرکtal

به منظور برآورد هدایت هیدرولیکی اشباع ماتریس از مدل زیر استفاده شد (19).

$$K_s (cm/h) = 4.41 \times 10^7 \left( \frac{\phi^x}{n^2} \right) R_1^2 \quad (1)$$

که در آن:  $\phi$  تخلخل کل،  $R_1$  بزرگترین شعاع منفذ معادل برای مدل فرش سرپینسکی،  $n$  کل گروههای توزیع منافذ و  $x$  توان برهم کنش منفذ است. نمای  $x$  در معادله 1 برابر  $1/333$  فرض می شود (12). راولز و همکاران (19)  $R_1$  را معادل بزرگترین منفذ در ماتریس و منافذ درشت خاک فرض نمودند که از معادله خیز موئینه ای محاسبه می شود:

جدول 1- توابع انتقالی رگرسیونی مورد استفاده در تحقیق

نام مدل	رابطه
کمپل (1985)	$K_s (m/s) = 4 \cdot 10^{-5} \left( \frac{1.3}{BD} \right)^{1.3b} \exp(-6.9(m_c) - 3.7(m_s))$ $b = d_g^{-0.5} + 0.2\sigma_g$ $d_g = \exp \left( 0.01 \sum_{i=1}^3 f_i \ln d_i \right)$ $\sigma_g = \exp \left[ (0.01 \sum_{i=1}^3 f_i \ln^2 d_i) - \left( 0.01 \sum_{i=1}^3 f_i \ln d_i \right)^2 \right]$
براکسیک و همکاران (1984)	$K_s (m/s) = 2.78 \times 10^{-6} \exp(x)$
	$x = 19.52348(\theta_s) - 8.96847 - 0.028212(Clay) + 1.8107 \times 10^{-4}(Sand^2) - 9.4125 \times 10^{-3}(Clay^2)$ $- 8.395215(\theta_s^2) + 0.077718(Sand)(\theta_s) - 0.00298(Sand^2)(\theta_s^2) - 0.019492(Clay^2)(\theta_s^2)$ $+ 1.73 \times 10^{-5}(Sand^2)(Clay) + 0.02733(Clay^2)(\theta_s) + 0.001434(Sand^2)(\theta_s)$ $- 3.5 \times 10^{-6}(Clay^2)(Sand)$
وریکن و همکاران (1990)	$K_s (m/s) = 1.1574 \times 10^{-7} \exp(20.62 - 0.96 \ln(Clay) - 0.66 \ln(Sand) - 0.46 \ln(Om) - 8.43(BD))$
کاسبای و همکاران (1984)	$K_s (m/s) = 7.05556 \times 10^{-6} \cdot (10^{[-0.6 + 0.0126(Sand) - 0.0064(Clay)]})$

(1986) سکستون و همکاران	$K_s(m/s) = 2.778 \times 10^{-6} \exp(x)$
	$x = 12.012 - 7.55 \times 10^{-2} (\text{Sand})$ $+ (-3.895 + 3.671 \times 10^{-2} (\text{Sand}) - 0.1103 (\text{Clay}) + 8.7546 \times 10^{-4} (\text{Clay}^2)) / \theta_s$
(1999) وستن و همکاران	$K_s(m/s) = 1.15741 \times 10^{-7} \exp(x)$
	$x = 7.755 + 0.0352 (\text{Silt}) + 0.93 (\text{topsoil}) - 0.967 (\text{BD}^2) - 0.000484 (\text{Clay}^2) - 0.000322 (\text{Silt}^2)$ $+ 0.001 (\text{Silt}) - 0.0748 (\text{Om}) - 0.643 \ln(\text{Silt}) - 0.01398 (\text{BD}) (\text{Clay}) - 0.1673 (\text{BD}) (\text{Om})$ $+ 0.02986 (\text{Topsoil}) (\text{Clay}) - 0.03305 (\text{Topsoil}) (\text{Silt})$
(1997) وستن	$K_s(m/s) = 1.15741 \times 10^{-7} \exp(x)$
	$x = 9.5 - 1.471 (\text{BD}^2) - 0.688 (\text{Om}) + 0.0369 (\text{Om}^2) - 0.332 \ln(\text{CS})$ $(\text{خاک شنی})$
	$x = -43.1 + 64.8 (\text{BD}) - 22.21 (\text{BD}^2) + 7.02 (\text{Om}) - 0.1562 (\text{Om}^2)$ $+ 0.985 \ln(\text{Om}) - 0.01332 (\text{Clay}) (\text{Om}) - 4.71 (\text{BD}) (\text{Om})$ $(\text{خاک لومی و رسی})$
(2004) فر جولیا و همکاران	$K_s(mm/h) = 0.920 e^{(0.0491(\text{Sand}))}$
(1994) کمپل و شوزاوا	$K_s(\text{mm/h}) = 54 \exp(-0.07 \text{Sand} - 0.167 \text{Clay})$
(1994) دنی و پاکت	$K_s(\text{mm/h}) = 303.84 \exp(-0.144 \text{Clay})$
(1985) پاکت و همکاران	$K_s(\text{mm/h}) = 156.96 \exp(-0.1975 \text{Clay})$

.Sand و Silt به ترتیب درصدهای رس، سیلت و شن؛ Om درصد ماده آئی؛ BD جرم مخصوص ظاهری (g cm<sup>-3</sup>)؛ CS مجموع درصد رس و سیلت؛ مقدار Topsoil برابر با یک اگر نمونه از سطح اراضی تهیه گردد و برابر صفر اگر نمونه از تحت اراضی تهیه شود؛  $\theta_s$  رطوبت اشباع حجمی؛  $m_c$  و  $m_s$  به ترتیب بیانگر فراوانی ذرات رس و سیلت؛  $d_i$ ، میانگین اندازه‌ی حدود ذرات متواالی خاک می‌باشد که برای شن، سیلت و رس به ترتیب 0/025، 1/026 و 0/001 میلی متر می‌باشد  $f_i$  درصد فراوانی ذرات شن، سیلت و رس می‌باشد.

$$\begin{aligned} & \text{استفاده از رگرسیون غیر خطی به منظور برآورد } n \text{ از} \\ & \text{طریق مرتبط کردن آن با بعد فرکتال (D) ارائه داده‌اند.} \\ & n = 1.86 D^{5.34}, \quad r = 0.91 \end{aligned} \quad (4)$$

در معادله 3،  $\theta_1$  تخلخل در رطوبت ظرفیت مزرعه می‌باشد. مارشال (11) مقدار m را برابر 12 پیشنهاد کرد. راولز و همکاران (19) رابطه دیگری با

صورت و مخرج کسر با یکدیگر ساده شده و معادله فاقد پارامتر  $R_1$  یا شعاع منفذ خواهد بود:

$$K_s = 4.41 \times 10^{-7} \left( \frac{\phi^x}{60.135^2} \right) \quad (7)$$

با توجه به اینکه معادله (7) مستقل از  $R_1$  می باشد، مقدار هدایت هیدرولیکی اشباع منفذ درشت خاک بدست آمده از آن تنها تابعی از تخلخل کل خواهد بود. بنابراین، برآورد هدایت هیدرولیکی اشباع منفذ درشت خاک با استفاده از تنها تخلخل کل و بدون در نظر گرفتن بزرگترین شعاع منفذ نتایج قابل قبولی ارائه نمی دهد. بدین منظور، بر اساس داده های راولز و همکاران (19)، در این تحقیق معادله دیگری به منظور محاسبه  $n$  با اعمال عرض از مبدأ با استفاده از نرم افزار SPSS به صورت زیر ارائه شد.

$$n = 50.695 R_1 + 3.15, \quad r = 0.85 \quad (8)$$

با توجه به این که  $r$  بدست آمده برای این معادله برابر با 0/85 بوده و این مقدار نسبت به  $r$  ارائه شده برای معادلات راولز و همکاران (19) و امیدی و قهرمان (14) اندکی کمتر می باشد، ولی معایب معادلات فوق الذکر را بر طرف نموده است.

#### ارزیابی عملکرد توابع انتقالی

به منظور ارزیابی عملکرد توابع انتقالی برآورد کننده هدایت هیدرولیکی اشباع ماتریس و منفذ درشت خاک از محک های آماری نسبت خطای (۶)، نسبت خطای متوسط هندسی (GMER)<sup>۲</sup> و نسبت خطای انحراف معیار هندسی (GSDER)<sup>۳</sup> به ترتیب با استفاده از روابط (9) تا (11) استفاده شد (26).

$$\epsilon = \frac{K_{sp}}{K_{sm}} \quad (9)$$

$$GMER = \exp \left( \frac{1}{N} \sum_{i=1}^N \ln(\epsilon_i) \right) \quad (10)$$

که در آن:  $D$  بعد فرکتال منفذ خاک بوده که از طریق رابطه  $\lambda = 2 - D$  قابل محاسبه است و در آن  $\lambda$ ، شاخص توزیع اندازه های منفذ بروکر وکوری (4) و  $\alpha$  بیانگر ضریب همبستگی است (24). در این تحقیق،  $\lambda$  از توابع انتقالی رگرسیونی ارائه شده توسط راولز (18) با متغیر های ورودی تخلخل و درصد های شن و رس محاسبه گردید.

#### هدایت هیدرولیکی اشباع منفذ درشت خاک

##### مدل فرکتال راولز و همکاران

وجود منفذ درشت در ماتریس خاک، سبب می شود آب مستقیماً از سطح خاک توسط این منفذ درشت متصل به هم تا خاک زیر سطحی جریان یابد. به این گونه جریانها، جریان ترجیحی<sup>۱</sup> گویند. هدایت هیدرولیکی اشباع این نوع جریان ها را هدایت هیدرولیکی اشباع منفذ درشت خاک گویند. راولز و همکاران (19) از معادله (1) به منظور محاسبه هدایت هیدرولیکی اشباع منفذ درشت خاک استفاده کردند. ایشان مقدار 1/333 را برای  $x$  در نظر گرفته و مقدار  $R_1$  را از معادله (2) محاسبه نمودند. آن ها به منظور محاسبه  $n$  رابطه زیر را ارائه دادند:

$$n = -5.7 + 77.0 R_1, \quad r = 0.93 \quad (5)$$

در رابطه (5)، محدوده مقادیر  $R_1$  استفاده شده برای بدست آوردن معادله 0/12 تا 0/49 سانتی متر می باشد و این معادله برای مقادیر  $R_1$  کمتر از 0/08 مقادیر منفی می دهد که واقعی نمی باشد. امیدی و قهرمان (14) به منظور برطرف کردن عیب معادله، رابطه دیگری بر مبنای اطلاعات راولز و همکاران به شرح ذیل ارائه نمودند.

$$n = 60.135 R_1, \quad r = 0.89 \quad (6)$$

این معادله یک معادله خطی با عرض از مبدأ صفر می باشد. چنان که  $n$  بدست آمده از معادله (6) در معادله (1) جایگزین شود مقادیر  $R_1$  های موجود در

<sup>2</sup>. Geometric mean error ratio

<sup>3</sup>. Geometric standard deviation error ratio

<sup>1</sup>. Preferential

### هدايت هيدروليكي اشباع ماترييس خاک

در جدول (2) دامنه تغييرات برخى خصوصيات زوديافت اندازه‌گيري شده برای مناطق مورد تحقيق ارائه شده است. با استفاده از اين خصوصيات، هدايت هيدروليكي اشباع ماترييس خاک از طريق چندين مدل توابع انتقالی برآورده شد. شكل (1) لگاريتم مقادير اندازه‌گيري شده را در برابر برآورده شده آن به وسیله مدل‌های تابع انتقالی رگرسيونی، مدل تابع انتقالی رزتا و مدل فركتال راولز و همكاران نشان می‌دهد. در ارتباط با مدل فركتال، مقدار هدايت هيدروليكي اشباع ماترييس خاک با استفاده از معادله (1) محاسبه و به همراه مقادير اندازه‌گيري شده (محور افقی) در شكل (1) رسم شد و با عاليم 1- Fractal Rawls و 2- Fractal Rawls نشان داده شد. شماره‌های 1 و 2 هماه اين عبارات به ترتيب نشان دهنده هدايت هيدروليكي اشباع ماترييس مرتبط با n محاسبه شده از رابطه (3) و هدايت هيدروليكي اشباع ماترييس مرتبط با n محاسبه شده از رابطه (4) می‌باشد.

با توجه به شكل (1) و همچنين مقاييسه مقادير محک‌های آماری GMER و DT از جدول (3) مشاهده می‌شود که مدل‌ها دقت‌های متفاوتی در برآورده هدايت هيدروليكي اشباع ماترييس خاک دارند. برای مدل‌هایی که بيشتر نقاط زير خط 1:1 قرار گرفته‌اند (GMER < 1) کم برآورده و برای آن هایی که بالای خط 1:1 قرار می‌گيرند، بيش برآورده برای K<sub>sp</sub> ارائه شده است. با اين وصف تمام مدل‌ها تمایل به کم برآورده کردن نشان داده‌اند و GMER كمتر از يك در جدول (3) نيز به خوبی بيانگر اين موضوع می‌باشد. اين مدل‌ها به ترتيب دقت آن‌ها در برآورده هدايت هيدروليكي اشباع عبارتند از: وستن و همكاران، كاسبای و همكاران، وريکن و همكاران، جبرو سوپيل پار<sup>2</sup> رزتا ( شبکه‌ی عصبی)، وستن، دني و پاکت، پاکت - سوپيل پار<sup>2</sup> كمپل، جايizer تاييلر - سوپيل پار<sup>2</sup>، براكنسيك و همكاران، سكستون و همكاران، فركتال - راولز<sup>2</sup>، فركتال - راولز<sup>1</sup>، فرر جوليا و

(11)

$$GSDER = \exp \left[ \left( \frac{1}{N-1} \sum_{i=1}^N [\ln(ei) - \ln(GMER)]^2 \right)^{1/2} \right]$$

كه در آن e نسبت خط، K<sub>sp</sub> و K<sub>sm</sub> به ترتيب مقادير برآورده شده و مقادير اندازه‌گيري شده هدايت هيدروليكي اشباع و N تعداد مشاهدات می‌باشد. GMER معادل با يك تطابق كامل بين مقادير اندازه‌گيري شده و تخمين زده شده را نشان می‌دهد. GMER كمتر از يك نشان می‌دهد مقادير تخمين زده شده به طور كلی كم برآورده<sup>1</sup> و GMER بزرگتر از يك نشان می‌دهد كه مقادير بيش برآورده<sup>2</sup> شده است. هرچه مقدار GSDER بيشتر باشد، نشاندهنده انحراف بيشتر از مقادير اندازه‌گيري شده می‌باشد.

همچنان، كارآيی مدل‌های برآورده کننده هدايت هيدروليكي اشباع ماترييس و منافذ درشت خاک از طريق مقاييسه مقادير هدايت هيدروليكي اشباع اندازه‌گيري شده با مقادير برآورده شده آن با استفاده از لگاريتم پaramتر DT<sup>3</sup> از طريق رابطه زير ارزیابی شد (به نقل از اميدی و قهرمان (14)).

(12)

$$\log DT = \left\{ \sum_{i=1}^N \left[ \log_{10} \left( \frac{K_{sp}}{K_{sm}} \right) \right]^2 \right\}^{0.5}$$

كه در آن: K<sub>sm</sub> و K<sub>sp</sub> به ترتيب هدايت هيدروليكي اشباع اندازه‌گيري شده و برآورده شده به وسیله مدل و N تعداد خاک‌ها می‌باشد. هرچه مقدار DT بزرگتر باشد، خطای تخمين‌ها بيشتر و دقت و كارابي مدل در برآورده هدايت هيدروليكي اشباع كمتر خواهد بود. بنابراین، بهترین مدل، GMER نزديك به يك و كمترین مقادير DT و GSDER را خواهد داشت.

### نتایج و بحث

<sup>1</sup> Under estimate

<sup>2</sup> Over estimate

<sup>3</sup> Deviation time

هیدرولیکی مربوط به خاک هایی که از آن منشأ گرفته اند را بهتر برآورد کنند. مدل پاکت و همکاران که فقط از درصد رس بعنوان ورودی برای تابع انتقالی استفاده کرده است هدایت هیدرولیکی اشباع را کمتر برآورد کرده است. این موضوع به ماهیت رفتار رس خاک بستگی دارد. برخی رس ها ممکن است تشکیل خاکدانه هایی بدنهند که سبب افزایش تخلخل درشت خاک شود.

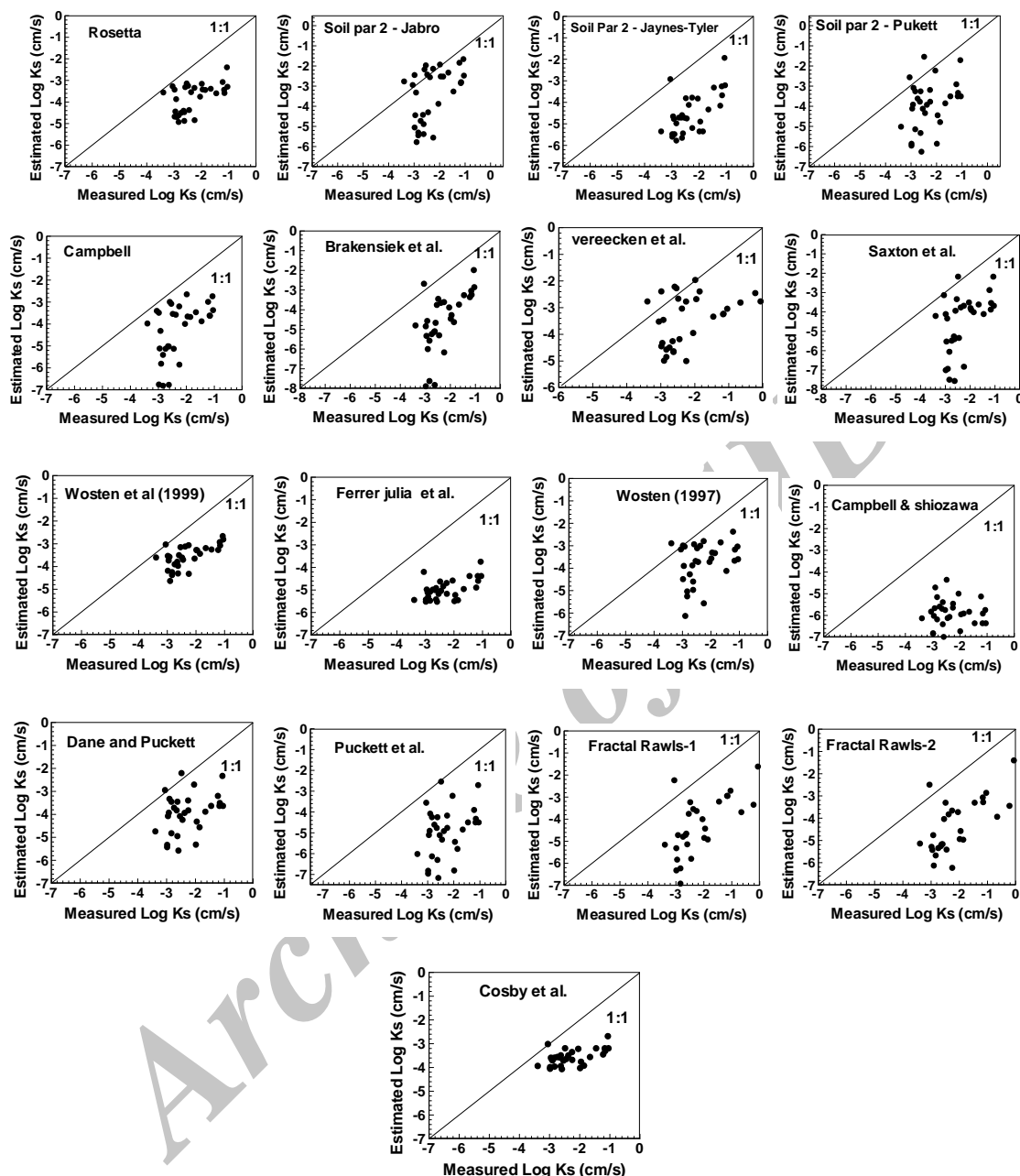
بنابراین در واقعیت هدایت هیدرولیکی اشباع اندازه گیری شده آنها بیشتر از مقدار برآورد شده با استفاده از توابع انتقالی خواهد بود. معادله پاکت مورد استفاده در سویل پار 2 متفاوت از مدل پاکت و همکاران (15) می باشد. به علت این که صحت و سقم معادله ارائه شده برای مدل پاکت و همکاران به وسیله نرم افزار سویل پار 2 مورد تردید بود، از هر دو مدل (نرم افزار سویل پار 2 و مدل پاکت و همکاران) برای برآورد هدایت هیدرولیکی اشباع در این تحقیق استفاده شد.

همکاران پاکت و همکاران، کمپل و شوزاوا، نتایج محک های آماری در جدول (3) نشان داد مدل کمپل و شوزاوا با DT برابر با 4931/854 کم دقت ترین برآورد هدایت هیدرولیکی اشباع را برای مناطق مورد تحقیق ارائه می کند. مدل وستن و همکاران بالاترین دقت را با DT و GMER به ترتیب 23/117 و 0/055 و با GSDER برابر با 3/372 نشان داده است. لذا، بهترین مدل برای برآورد هدایت هیدرولیکی اشباع ماتریس در مناطق مورد تحقیق وستن و همکاران می باشد.

پیش بینی بهتر توسط مدل رزتا می تواند به دلیل وجود ماهیت علمی قوی استفاده شده در این مدل و محدوده وسیع نمونه خاک های استفاده شده در آموزش مدل باشد. علاوه بر آن، چون در آموزش شبکه عصبی مصنوعی (رزتا)، از خاک های قاره آسیا نیز استفاده شده است (2) می توان عملکرد بهتر رزتا را به این موضوع نیز نسبت داد. اصولاً توابع انتقالی می توانند خصوصیات

جدول 2- میانگین، دامنه تغییرات، انحراف معیار، ضریب تغییرات و چولگی ویژگی های اندازه گیری شده در 31 نمونه خاک

متغیر	تعداد	میانگین	حداقل	حداکثر	انحراف معیار	ضریب تغییرات	ضریب چولگی
درصد شن	31	26/1	5/2	48/4	11/28	0/43	0/79
درصد سیلت	31	43/2	17/1	65/3	14/93	0/35	-0/88
درصد رس	31	29/1	2/3	67/1	14/14	0/49	0/13
جرم مخصوص ظاهری ( $\text{g.cm}^{-3}$ )	31	1/44	0/97	1/92	0/28	0/19	0/23
درصد محتوای ماده آبی	31	2/1	1/01	4/1	1/02	0/49	1/44



شکل ۱- مقایسه لگاریتم مقادیر هدایت هیدرولیکی اشباع اندازه‌گیری شده و برآورد شده با استفاده از مدل‌های مختلف

جولیا و همکاران که فقط درصد شن را در بر گرفته‌اند، نیز نتایج قابل قبولی ارائه نداده‌اند. نتایج توابع انتقالی کاسپایی و همکاران و وستن و همکاران تقریباً مشابه هم

ماهیت توابع انتقالی به گونه‌ای است که بیشتر ماتریس خاک را در بر می‌گیرند و کمتر به خلل و فرج درشت و ساختمان خاک توجه دارند. مدل‌هایی مانند فرر

ذرات در مدل برانکسیک و همکاران دقت برآورد را افزایش نداده است. و گنر و همکاران (26) نتایجی تقریباً مشابه با نتایج بدست آمده در این تحقیق گزارش کردند. در تحقیق ایشان نیز توابع وستن و همکاران، کمپل، کاسبای، سکستون همکاران و برانکسیک و همکاران هدایت هیدرولیکی اشباع را کمتر برآورد کردند. امیدی و قهرمان (14) نشان دادند مدل کاسبای و همکاران بهترین برآورد را برای هدایت هیدرولیکی اشباع ماتریس ارائه می‌دهد. در این تحقیق نیز بعد از وستن و همکاران، مدل کاسبای و همکاران تطبیق بهتری نسبت به سایر مدل‌ها نشان داد.

بودند. مدل وستن و همکاران نتایج خوبی نشان داده است. دلیل آن را، بانک اطلاعات قوی استفاده شده در توسعه مدل وستن و همکاران می‌توان ذکر کرد. شایان ذکر است مدل کاسبای و همکاران با اینکه فقط از دو متغیر ورودی شن و رس استفاده می‌کند تخمین دقیقی از هدایت هیدرولیکی اشباع ارائه داده است.

در توسعه مدل برانکسیک و همکاران از رطوبت اشباع نیز استفاده شده است. به دلیل این‌که خاک‌ها بندرت به اشباع کامل می‌رسند، حتی اگر به مدت طولانی در معرض آب قرار گرفته باشند، شاید داده رطوبت اشباع استفاده شده در توسعه تابع انتقالی کاملاً دقیق نبوده است. به همین دلیل، اضافه کردن رطوبت اشباع به توزیع اندازه

جدول 3- مقادیر آمارهای DT، GMER و GSDER مدل‌های برآورد کننده هدایت هیدرولیکی اشباع ماتریس خاک.

GSDER	GMER	DT	مدل
14/187	0/075	39/720	جبرو-سویل پار 2
3/372	0/055	23/117	وستن و همکاران
4/452	0/031	44/170	رزتا
11/502	0/011	168/494	کمپل
8/950	0/035	53/639	وستن
3/732	0/053	24/917	کاسبای و همکاران
19/397	0/006	379/257	سکستون و همکاران
15/222	0/005	365/544	برانکسیک و همکاران
7/728	0/023	72/282	دنی و پاکت
13/967	0/023	95/876	پاکت - سویل پار 2
5/543	0/006	215/694	جاپن تایلر-سویل پار 2
3/628	0/002	536/177	فر جولیا و همکاران
13/663	0/002	703/612	پاکت و همکاران
8/273	0/001	4931/854	کمپل و شوزاوا
8/476	0/068	30/500	وریکن و همکاران
19/731	0/005	453/175	فرکتال - راولز 1
12/378	0/005	363/360	فرکتال - راولز 2

مقادیر  $R_1$  استفاده شده برای تعیین معادله  $0/12$  تا  $0/49$  سانتی متر می باشد و این معادله برای مقادیر  $R_1$  کمتر از  $0/08$  مقادیر  $n$  را منفی می دهد که واقعی نمی باشد. بدین منظور، برای محاسبه  $n$  از معادلات تعدیل شده به وسیله امیدی و قهرمان ( مطابق با معادله 6 ) و تعدیل شده در این تحقیق ( مطابق با معادله 8 ) استفاده شد.

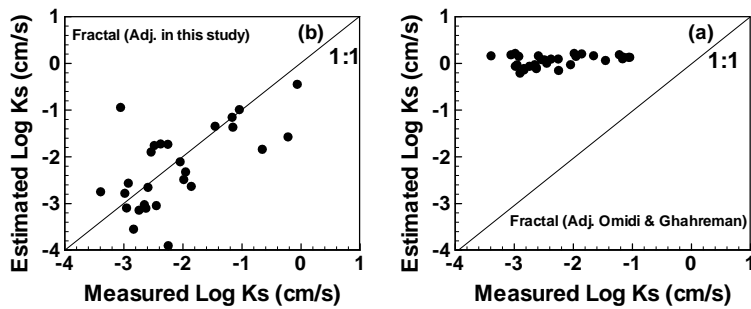
به مظور محاسبه  $R_1$  با استفاده از رابطه (2) ،  
مقدار مکش ورود هوا ( $h_b$ ) با استفاده توابع انتقالی ارائه شده توسط راولز (18) برآورد گردید. با بدست آوردن پارامترهای  $R_1$  ،  $\phi$  و  $n$  مقدار هدایت هیدرولیکی اشباع منافذ درشت خاک با استفاده از معادله (1) برآورد شد. در شکل (2) هدایت هیدرولیکی اشباع منافذ درشت، برآورد شده با استفاده از مدل فرکتال راولز با  $n$  به ترتیب تعدیل شده به وسیله امیدی و قهرمان ( مطابق با رابطه 6 ) (Fractal Adj. Omidi & Ghahreman حاضر ( رابطه 8 ) (Fractal Adj in this study) به همراه مقادیر اندازه گیری شده هدایت هیدرولیکی اشباع خاک (محور افقی) رسم شده است.

با توجه به شکل (2) و از روی پراکندگی نقاط اطراف خط یک به یک و همچنین مقدار محکمای آماری (جدول 4) می توان مشاهده کرد که مدل فرکتال راولز با  $n/688$  تعدیل شده در این تحقیق با مقدار DT برابر با GSDER نزدیکتر به یک و برابر با  $0/63$  و با GMER برابر با  $6/71$  بهترین برآورد از هدایت هیدرولیکی اشباع منافذ درشت خاک نسبت به مدل فرکتال تعدیل شده ای و قهرمان ارائه داده است.

معیار GSDER بیانگر انحراف بیشتر مقادیر برآورد شده از اندازه گیری شده می باشد. در واقع، مقادیر زیاد GSDER نشانده نه پراکندگی بیشتر بوده و عملکرد غیر یکسان تابع انتقالی برای خاک های مختلف را نشان می دهد. با مقایسه تابع انتقالی جبرو - سویل پار 2 با رزتا مشاهده می گردد. مقدار DT تابع انتقالی جبرو - سویل پار 2 کمتر از رزتا می باشد، در حالی که مقدار GSDER این تابع خیلی بیشتر از رزتا است. لذا، می توان نتیجه گرفت جبرو - سویل پار 2 با این که برای بعضی خاک ها برآورد مناسبی داشته، ولی برای برخی دیگر عملکرد نامناسبی داشته و این امر سبب شده مقدار GSDER آن بیشتر شود. با توجه به شکل (1) مشاهده می شود پراکندگی نقاط در جبرو - سویل پار 2 بیشتر از رزتا می باشد. عدم یکسانی عملکرد (GSDER زیاد) در برآورد هدایت هیدرولیکی اشباع سبب می شود استفاده از تابع برای خاک های دیگر با احتیاط بیشتری انجام گیرد.

جدول (3) و شکل (1) نشان می دهد با اینکه تابع انتقالی کمپل و شوزوا کمترین دقت را داشته اما GSDER آن کم بوده و پراکندگی نقاط کم می باشد. لذا، می توان گفت تابع کمپل و شوزوا عملکرد یکسانی داشته و هدایت هیدرولیکی اشباع تمام خاک ها را با دقت خیلی کمی برآورد نموده است. بنابراین، برای انتخاب بهترین تابع انتقالی، هر دو معیار (DT و GSDER) باید مدنظر قرار گیرد. با توجه به این دو معیار، جدول (3) نشان می دهد تابع انتقالی وستن و همکاران، کاسبای و همکاران و رزتا به ترتیب کمترین DT و GSDER داشته و برای خاک های مورد تحقیق بهترین برآورد را ارائه دادند.

هدایت هیدرولیکی اشباع منافذ درشت خاک راولز و همکاران به منظور محاسبه هدایت هیدرولیکی اشباع منافذ درشت خاک با استفاده از معادله (1)، مقدار  $x$  برابر با  $1/333$  را پذیرفته و برای محاسبه  $R_1$  و  $n$  به ترتیب از روابط (2) و (5) استفاده کردند. در رابطه (5) ارائه شده به وسیله راولز و همکاران محدوده ای



شکل 2 - مقایسه لگاریتم هدایت هیدرولیکی اشباع اندازه گیری شده ( $K_s$ ) و برآورده شده برای منافذ درشت خاک با (a) مدل فرکتال راولز با  $n$  تعديل شده به وسیله امیدی و قهرمان، (b) مدل فرکتال راولز با  $n$  تعديل شده در تحقیق حاضر.

جدول 4- مقادیر آمارهای DT، GMER و GSDER برای هدایت هیدرولیکی اشباع منافذ درشت خاک برآورده شده با

مدل فرکتال راولز با  $n$  تعديل شده در تحقیق حاضر، تعديل شده به وسیله امیدی و قهرمان (14)

GSDER	GMER	DT	مدل
6/71	0/63	6/88	فرکتال راولز با $n$ تعديل شده در تحقیق حاضر
4/36	222/83	269/85	فرکتال راولز با $n$ تعديل شده به وسیله امیدی و قهرمان

هدایت هیدرولیکی اشباع منافذ درشت خاک نسبت به مدل فرکتال تعديل شده امیدی و قهرمان را داشت.

در ارتباط با مدل های هدایت هیدرولیکی منافذ درشت، ذکر این نقطه قابل توجه خواهد بود که هدایت هیدرولیکی اشباع اندازه گیری شده با روش بار افتان بدست آمده و این روش صرفاً اندازه گیری هدایت هیدرولیکی اشباع منافذ درشت را در بر نمی گیرد و شامل ماتریس خاک نیز می باشد. به عبارت دیگر، هدایت هیدرولیکی اشباع اندازه گیری شده خاک تحت تاثیر توانان جریان ماتریس خاک و جریان در منافذ درشت خاک است. در حالی که مدل فرکتال تنها هدایت هیدرولیکی اشباع منافذ درشت خاک را محاسبه می کند که این موضوع می تواند منجر به عدم تطبیق کامل شود. توصیه می شود در مطالعات آینده مقادیر هدایت هیدرولیکی اشباع منافذ درشت خاک نیز اندازه گیری شده و توانایی مدل ارائه شده در این تحقیق با آن مقایسه گردد.

### نتیجه گیری کلی

هدایت هیدرولیکی اشباع خاک از خصوصیات مهم و تعیین کننده در مدل سازی جریان آب و املاح در خاک بوده و نقش ارزشمند در مدیریت آب و خاک دارد. اندازه گیری مستقیم هدایت هیدرولیکی زمان ببر، هزینه برا و دارای خطای سیستماتیک می باشد. به منظور کاهش خطای سیستماتیک حاصل از روش اندازه گیری و یا خطای تخمین ذاتی مدل ها برای برآورد هدایت هیدرولیکی اشباع، دقت مدل توابع انتقالی رگرسیونی مختلف و همچنین مدل کامپیوتری رزتا با ماهیت شبکه عصبی مصنوعی، توابع نرم افزاری سویل پار 2، مدل های فرکتال برای خاک های مختلف آزموده شد. تمام مدل ها هدایت هیدرولیکی اشباع را کم برآورد می کنند.

مدل وستن و همکاران با DT برابر 23/117 بالاترین دقت و مدل کمپل و شوزاوا با DT برابر 4931/854 کمترین دقت را داشتند. مدل فرکتال راولز با  $n$  تعديل شده در این تحقیق، با مقدار DT برابر با 6/88 بهترین برآورد از

منابع مورد استفاده

1. Acutis M. and Donatelli, M. 2003. SOILPAR 2.00: software to estimate soil hydrological parameters and functions. European Journal of Agronomy, 18: 373-377.
2. Borgesen, C. D. and Schaap, M. G. 2005. Point and parameter pedotransfer functions for water retention predictions for Danish soils. Geoderma, 127:154-167.
3. Brakensiek, D. L., Rawls, W. J. and Stephenson, G. R. 1984. Modifying SCS hydrologic soil groups and curve numbers for rangeland soils. ASAE Paper No. PNR-84-203, St. Joseph, MI.
4. Brooks, R. H. and Corey, A. T. 1964. Hydraulic properties of porous media. Colorado State University, Hydrological paper No. 3, p. 27.
5. Campbell, C. S. 1985. Soil physics with basic. Elsevier , New York.
6. Cosby, B. J., Hornberger, G. M. Clapp, R. B. and Ginn, T. R. 1984. A statistical exploration of the relationship of soil moisture characteristics to the physical properties of soils. Water Resources Research, 20 (6): 682-690.
7. Ferrer-Julià M., Estrela Monreal, T. Sánchez del Corral Jiménez, A. and García Meléndez, E. 2004. Constructing a saturated hydraulic conductivity map of Spain using pedotransfer functions and spatial prediction. Geoderma, 123: 275-277.
8. Heydari, F. 2011. Effect of residue application and stubble burning on soil hydraulic and physical properties in a cropping system. MSc. Thesis. University of Mohaghegh Ardabili. Ardabil, Iran, (In Farsi).
9. Jacob, H. and Clarke, G. 2002. Methods of soil analysis, Part 4, Physical Method. Soil Science Society of America, Inc. Madison, Wisconsin, USA.
10. Manyam, C., Morgan, C. L. Heilman, J. L. Fatondji, D. Gerard, B. and Payne, W.A. 2007. Modeling hydraulic properties of sandy soils of Niger using pedotransfer functions. Geoderma, 141: 407 – 415.
11. Marshal, T. J. 1958. A relationship between permeability and size distribution of pores. Soil Science, 9: 1-8.
12. Millington, R. J. and Quirk, J. P. 1961. Permeability of porous media. Transactions of the Faraday Society, 57: 1200-1206.
13. Nelson, D. W. and Sommers, L. E. 1982. Total carbon, organic carbon, and organic matter. In: Page, A. L. (Ed.), Methods of Soil Analysis. Part2. Second ed. Agron. Monogr. Soil Science Society of America, Madison,WI, 539-579.
14. Omidi, S., Ghahreman, B. 2008. Estimation of matrix and large pores hydraulic conductivity (using Pedotransfer functions, Fractal and capillary tubes methods). The 7<sup>th</sup> Iranian Hydraulic Conference. Nov. 11-13. Tehran, Iran (In Farsi).
15. Puckett, W. E., Dane, J. H. and Hajek, B. F. 1985. Physical and mineralogical data to determine Soil hydraulic properties. Soil Science Society of America Journal, 49: 831-836.
16. Rasoulzadeh, A. 2007. Three-Dimensional variably-saturated numerical modeling of groundwater management in a coastal aquifer (case study: Tavabe-e Arsanjan, Iran). PhD Thesis. Shiraz University. Shiraz, Iran.
17. Razavi, S. 2011. Pedotransfer functions to estimate hydraulic properties of agricultural soils in naghadeh county (Iran). MSc. Thesis. University of Mohaghegh Ardabili. Ardabil, Iran, (In Farsi).
18. Rawls, W. J. 2004. Pedotransfer functions for the United States. Developments in Soil Science, 30, 437-447.
19. Rawls, W. J., Brakensiek, D. L. and Logsdon, S. D. 1993. Predicting saturated hydraulic conductivity utilizing fractal principles. Soil Science, 57: 1193-1197.

20. Salazar, O., Wesstrom, I. and Joel, A. 2008. Evaluation of Drainmod using saturated hydraulic conductivity estimated by a pedotransfer function model. *Journal of Agricultural Water Management*, 95: 1135 – 1143.
21. Saxton K. E., Rawls, W. J. Romberger, J. S. and Papendick, R. I. 1986. Estimating generalized soil water characteristics from texture. *Soil Science Society of America Journal*, 50: 1301-1036.
22. Schaap, M. G. and Leij, F. J. 1998. Using neural networks to predict soil water retention and soil hydraulic conductivity. *Soil and Tillage Research*, 47: 37-42.
23. Schaap, M. G., Leij, F. J. and van Genuchten, M. T. 2001. ROSETTA: a computer program for estimating soil hydraulic parameters with hierarchical pedotransfer functions. *Journal of Hydrology*, 251: 163-176.
24. Tyler, S. W. and Wheatcraft, S. W. 1990. Fractal processes in soil water retention. *Water Resources Research*, 26: 1047-1054.
25. Vereecken, H., Maes, J. and Feyen, J. 1990. Estimating unsaturated hydraulic conductivity from easily measured soil properties. *Soil Science*, 149: 1-12.
26. Wagner, B., Tarnawski, V. R. Hennings, V. Müller, U. Wessolek, G. and Plagge, R. 2001. Evaluation of pedo-transfer functions for unsaturated soil hydraulic conductivity using an independent data set. *Geoderma*, 102: 275-297.
27. Wösten, J. H. M. 1997. Pedotransfer functions to evaluate soil quality. In: Gegorich, E.G., Carter, M.R. (Eds.), *Soil Quality for Crop Production and Ecosystem Health. Developments in Soils Science*, vol. 25, Elsevier, Amsterdam 221-245.
28. Wösten, J. H. Lilly, M., A. Nemes, A. and Le Bas, C. 1999. Development and use of a database of hydraulic properties of European soils. *Geoderma*, 90: 169-185.
29. Yaghoubi, A. 2010. Investigation of cattle manure effect on soil hydraulic properties by inverse method. MSc. Thesis. University of Mohaghegh Ardabili. Ardabil, Iran, (In Farsi).